中華民國第四十三屆中小學科學展覽會參展作品專輯

高中組

生活與應用科學科

科別:生活及應用科學

組別:高中組

作品名稱:琴聲叮叮咚

關鍵詞:振動頻率、響度

編號:040801

學校名稱:

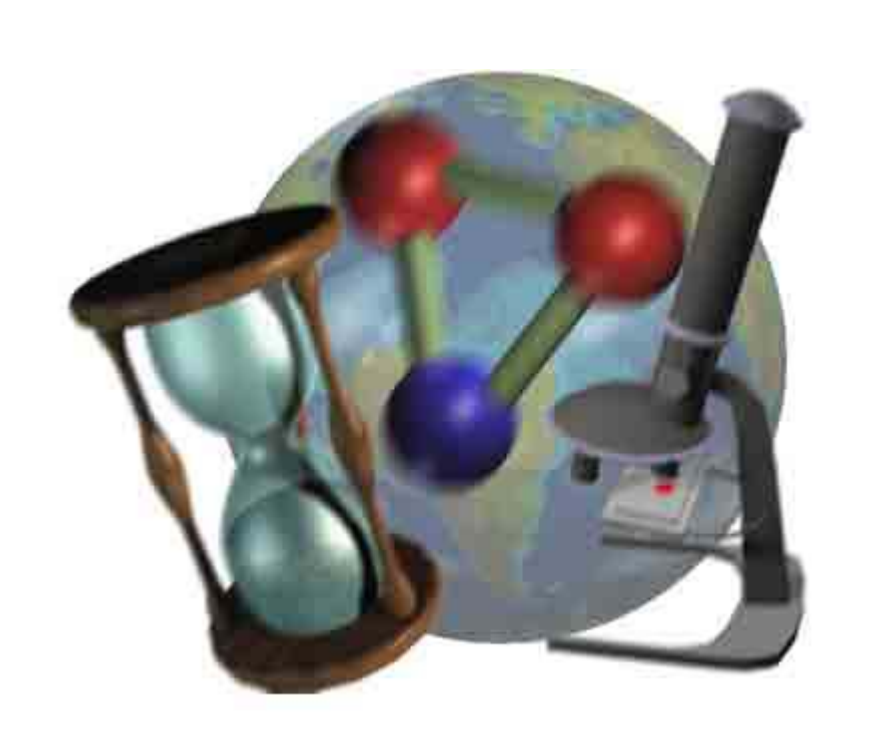
國立蘭陽女子高級中學

作者姓名:

吳敬萱、楊植纓、黃佩琦、蕭雅云

指導老師:

林冠宏、許義淵



摘要

我們以聲頻分析儀測量對木材的振動頻率,首先探討木材置放於不同溫度時的頻率變化,找出使木材振動頻率達穩定的最佳條件,並探究其原因。其次,藉由測量不同長、寬、厚度木材的振動頻率,歸納出木材振動頻率與其長、寬、厚度的關係方程式,由此關係方程式,發展出製造標準音高木條的流程。接著,我們以分貝儀測量木材的振動響度,探討木條在不同支撐位置的響度變化,找出有最大響度的支撐位置。另外,我們以氣柱共鳴法,探討不同振動頻率木條的共鳴管長度,並找出影響共鳴管長度的因素。最後,綜合我們的研究成果,完成一具高準確、響度足夠的木製打擊樂器。

壹、研究動機

高一基礎物理「聲音」、高中物理「波動」、「聲波」、「共鳴空氣柱實驗」, 對樂器原理、聲波特性及駐波現象有所介紹,我們希望藉由這些知識及方 法,對木材的振動進行研究,探討影響其振動頻率及響度的變因,藉由研 究結果發展出一套製造木製打擊樂器的完整流程。

貳、研究目的

- 一、探討木材振動頻率的穩定性。
- 二、探討木材振動頻率與長寬厚度的關係。
- 三、探討產生標準音頻木條的製作流程。
- 四、探討支撐位置對木材振動響度的影響。
- 五、 探討提升木材振動響度的共鳴管長度。

參、研究器材與設備

- 一、直尺、游標尺、電子秤、橡皮棒、花梨木、白木、木架、氣柱共鳴管、 分貝儀、麥克風、個人電腦。
- 二、軟體:聲頻分析儀(Cool Edit)、Microsoft Excel。

肆、研究過程與方法

一、 木材振動頻率穩定性的探討:

木材的材質及幾何形狀者都可能影響其振動頻率(參考資料一~五),若欲探討木材的振動頻率與其長寬厚度的關係,需先有穩定的木材材質作為控制變因。因此,找出使木材材質穩定的條件是我們首要的研究目標。其實驗操作流程如下:

1. 取花梨木及白木原材裁切成長寬厚皆相同的長 方形木條,將之置放於室溫的環境中(溫度 21~29 ℃;濕度 69~93%),每間隔數小時,測量及記錄其 質量、長寬厚度、振動頻率的變化。

其中木條振動頻率的測量方法如下:以擊槌 敲擊木條,將其振動音頻以麥克風接收,連結 至 PC,以音頻分析軟體 "Cool Edit" 測出振動 頻率,如右圖示。軟體 "Cool Edit" 可由下列網 址発費下載: http://www.syntrillium.com/download/。

- 2. 取相同規格花梨木及白木兩組,分別置入 50℃ 及 90℃的烘箱中,每間隔數小時,測量其其質 量 m、長寬厚度及振動頻率 f,記錄其變化情形。 歷經數天後,將木條由烘箱中取出,置放室溫環 境,繼續記錄各物理量的變化。
- 3. 比較不同溫度置放下,木條振動頻率的變化情形,找出振動頻率穩定的最佳條件。
- 二、 木材振動頻率與長寬厚度關係的探討 實驗操作流程如下:
 - 1 · 取一花梨木原材,裁切成寬厚度相同,長度L不一的長方形木條樣本數塊。
 - 2· 將樣本置放於室溫的實驗室內約一星期後,以擊槌敲擊木條,用聲頻分析測其頻率 f ,以 "Microsoft Excel"分析頻率 f 與木條長度 L 的關係。
 - 3. 取一花梨木材,裁切成長度、寬度相同,厚度 H 不一的長方形木條數塊,重複步驟 2,分析 f-H 的關係。
 - 4· 取一花梨木材,裁切成長度、厚度相同,寬度 W













不同的長方形木條數塊,重複步驟 2,分析 f-W 的關係。

- 5. 改取白木原材,重複步驟 1~4。
- 6 · 綜合 f-L、f-H、f-W 的關係 , 歸納出 f 與 L、H、W 可能的關係式。



三、產生標準音頻木條的製作流程 我們所研究出產生標準音頻木條的製作流程如 下:



(一)決定標準音頻 fs

我們希望製作的木琴有八個鍵,其唱名及標準頻率如下表:(參考資料一)

木條	音階	音階	標準頻率 fs
編號	音名	唱名	(Hz)
1	c^2	Do	523.25
2	d^2	Re	587.33
3	e^2	Mi	659.26
4	f^2	Fa	698.46
5	g^2	Sol	783.99
6	a^2	La	880.00
7	b ²	Si	987.77
8	c^3	Do	1046.5



(二)木條長度 L 與振動頻率 f 的關係

以木條製造成的打擊樂器(木琴)的琴鍵是由寬厚一致,但長度不同的長方形木條所組成。所以,欲裁切出產生標準頻率 f。的琴鍵,需先知道木條長度與頻率的關係。經由〈研究過程二〉中所歸納出振動頻率 f 與木條長度 L 的關係為:

$$f = K \frac{H}{L^2} - \langle \Delta \overrightarrow{z} \rangle$$

其中 K 值我們稱之爲材質係數,可將木材材質對頻率的影響 以 K 值量化之。不同木材,其材質係數 K 會有差異,即使同一木條,其木材結構、密度、含水量也不一定均匀,以致各部分的 K 值也可能略有不同。

(三)初估琴鍵的長度 L。 實驗操作流程如下: $1 \cdot$ 取一花梨木條,測其寬度 W_0 ,厚度 H_0 ,長度 L_0 ,以聲頻分析儀測 其振動頻率 f_0 。假設此木條的材質係數爲 K_0 ,依式〈一〉,其關係 式應爲:

$$f_0 = K_0 \frac{H_0}{L_0^2} - \dots$$
 (1)

2.假設可以產生標準頻率 fs 的琴鍵長度為 Ls,裁切後琴鍵的材質係數 為 Ks,依式〈一〉,三者的關係應為:

$$f_s = K_s \frac{H_0}{L_s^2} \quad ---- \quad (2)$$

3. 若原本木條長度 L_0 與標準長度 L_s 相近,木材材質的變異性便不致太大,則 $K_0 = K_s$ 。將式(1)、(2)相除:

$$\frac{(1)}{(2)} \Rightarrow \frac{f_0}{f_s} = \frac{L_s^2}{L_0^2}$$

$$\Rightarrow L_s = \sqrt{\frac{f_0}{f_s}} L_0 \quad ----- \quad (3)$$

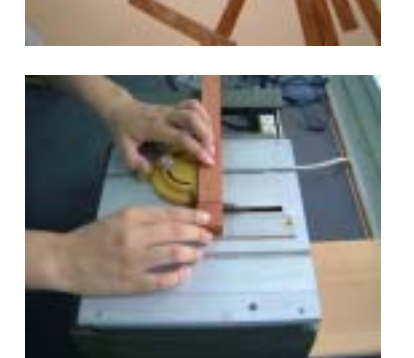
(四)修正琴鍵長度 Ls'

式(3)的結果必須在原材長度 L_0 ,與標準長度 L_s 相近時才成立,否則當 L_0 被截短成 L_s 時,因木材材質並非理想均勻値,可能造成截短後琴鍵的材質係數 K_0 。因此若能將原材的長度 L_0 裁切至與琴鍵長度 L_s 相近,重新以式(3)估算一次,便可以得到更精確的琴鍵長度 L_s "。其步驟如下:

- 1.將原材的長度由 L_0 截短成 L_0 '。其中 L_0 ' \equiv 初估長度 L_s +預留裁切長度 ΔL_s 考慮所使用裁切機的精細度及安全性,我們將 ΔL_s 定為 1 公分。
- 2.以聲頻分析儀測量截短後的原材頻 Lo'。
- 3·以式(3)重新估算標準頻率的琴鍵長度 L。':

$$L_s' = \sqrt{\frac{f_0'}{f_s}} L_0'$$

4·依照長度 L'完成琴鍵的裁切。



(五)檢測完工後琴鍵的振動頻率(fs'、fs*)

分別以聲頻分析儀及高中實驗中的氣柱共鳴管,檢測完工後琴鍵的頻率(fs'、fs*)。其中氣柱 共鳴管的原理(參考資料六)如下:



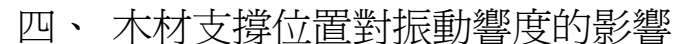
 X_1 及 X_2 分別代表第一次及第二次產生共鳴的水位,則 Δ

 $X=X_2-X_1=\frac{1}{2}$ (聲波波長 λ) $\rightarrow \lambda=2\Delta X$

又 聲波波速 V=331+0.6*溫度 t

而 頻率 f=波速 V/波長 λ

 \therefore f = $(331+0.6t)/2 \Delta X$



一架好的木琴,除了琴鍵的振動能夠發出標準音 頻以外,其振動的響度也要足夠,因此,我們希望 能夠探討木條在琴架上不同支撐位置的響度變 化,以期找出有最大響度振動的支撐位置。其實驗 操作流程如下:



- 1·將木條置於木琴的支架上,木條下方置以測量聲音響度的分貝儀。
- 2·將擊槌由相同高度處擊下,以固定每次的敲擊力道。敲擊後由分貝儀測量聲音的響度。
- 3. 改變支撐點的位置,重複步驟 1~2。
- 4. 由響度與支撐位置的關係圖找出最大響度的支撐點。

五、 共鳴管長度的探討

(一) 共鳴管長度與振動頻率的關係

一般樂器爲了增加其振動的響度,皆有共鳴管或共鳴箱的設計。對木琴而言,其共鳴管設置於琴鍵的下方,而共鳴管長度必須與琴鍵振動頻率配合,才能產生較佳共鳴效果。我們欲以一端開放、另一端封閉的玻璃圓管爲木琴的共鳴管,可藉由「共鳴空氣柱法」檢測琴鍵頻率的過程,取其 X_1 的長度爲共鳴管長度。由高中物理「駐波」的概念(參考資料八), X_1 與聲音頻率 f 的關係式應爲:

$$\chi_1 = \frac{1}{4}\lambda = \frac{1}{4}\frac{v}{f} - - - \langle \Delta \overrightarrow{r} - \rangle$$

(二)共鳴管管口處駐波波腹位置的探討

我們研究結果發現:木琴共鳴管長度 X_1 在與波長 λ 的關係並不如〈公式二〉中所示,應修正爲:

 Δh 爲 $\lambda / 4$ 與 X 間的差,我們稱之爲修正長度,爲了了解影響 Δh

的因素,我們設計下列流程來探討:

- 1.推測可能影響修正長度 Δh 的變因 我們推測可能影響 Δh 的變因有三:
 - (1) 木條的振動頻率 f
 - (2) 木條距管口的垂直距離 S
 - (3) 共鳴管的內直徑 D
- 2.探討 Δh 與 f、S、D 關係的實驗操作流程
 - (1) 將木條置於最大響度的支撐位置上,以以小槌 連續敲擊琴鍵,同時由管口向下調降共鳴管中 的水位,找到第一個及第二個共鳴效果最佳的 位置 X₁、X₂。
 - (2) 計算修正長度 Δh : $\Delta h = \frac{1}{4}\lambda - X_1 = \frac{1}{4}\lambda - 2\Delta X = \frac{1}{2} (X_2 - X_1) - X_1$
 - (3) 以不同頻率 f 的木條,重複(1)、(2),分析 Δ h 與 f 的關係。
 - (4) 固定木條的頻率,改變其在共鳴管上方的位置 S,重複(1)、(2),分析 Δh 與 S 的關係。
 - (5) 固定木條的頻率及擺放位置,改變共鳴管的口徑 D,重複(1)、(2),分析 Δh 與 S 的關係。

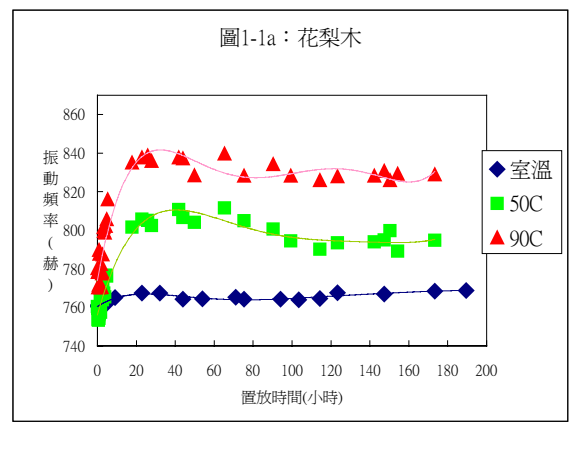
伍、研究結果

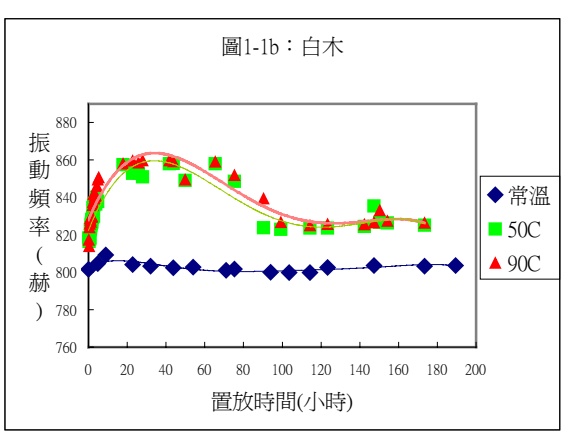
- 一、木材振動頻率穩定性的探討 花梨木及白木置放不同溫度環境中,所 測的振動頻率如附錄〈表 1-1~1-3〉所 示,將振動頻率隨置放時間的變化作成 圖 1-1a 及 1-1b,由圖中可以看出:
- 1.不管花梨木或白木,置放於室溫環境下,其振動頻率頻隨時間的起伏甚小。 而且,隨著置放時間的加長,其振頻率 有逐漸穩定的趨勢。
- 2·不管花梨木或白木,當置放於高溫環境後,其振動頻率急速升高,而且隨時間的變化相當劇烈。由烘箱取出後(圖中置放時間>76小時),其振動頻率逐漸回降,隨置放時間的加長,其頻率也有漸趨穩定的趨勢,但仍有不規則的起伏。











- 3. 比較高溫及室溫的置放結果:若要木材的振動頻率穩定,在室溫下置放一段時間是比較好的選擇。
- 二、木材振動頻率與長寬厚度的關係 (一)木材振動頻率 f 與長度 L 的關係
- 1· 不同長度木材的振動頻率測量結果 如附錄〈表 2-1〉所示。將木材振動頻 率 f 與木材長度 L 作成 f-L 的關係圖, 如〈圖 2-1a〉所示,可以看出:不管是 花梨木或白木,木材的長度愈長,其振 動頻率愈低。
- 2· 若將振動頻率 f 與木材長度 L 改畫成 f-1/L²的關係圖,如〈圖 1-1b〉所示,可 以明顯地看出:f 與 1/L²的關係爲一條 過原點的直線,即 振動頻率與長度 的平方成反比:

f α 1/L²

(二)木材振動頻率 f 與厚度 H 的關係

不同厚度木材的振動頻率測量結果如 附錄〈表 2-2〉所示。將振動頻率 f 與木材 厚度 H 作成 f-H 的關係圖,如〈圖 2-2〉所 示,可以看出:不管是花梨木或白木,木 材的厚度愈厚,其振動頻率愈高。而且 f-H 的函數關係為一條通過原點的直線,即

振動頻率與厚度成正比:

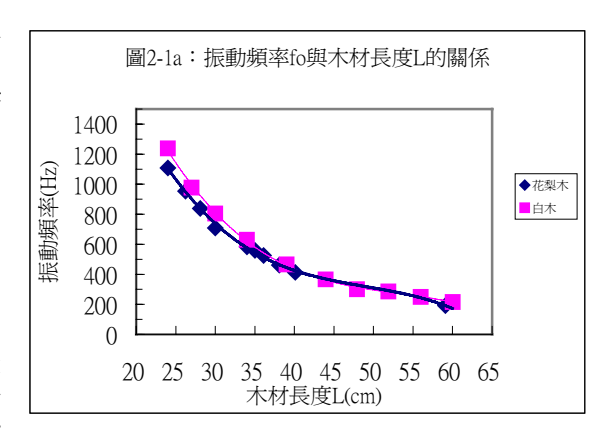
 $f \propto H$

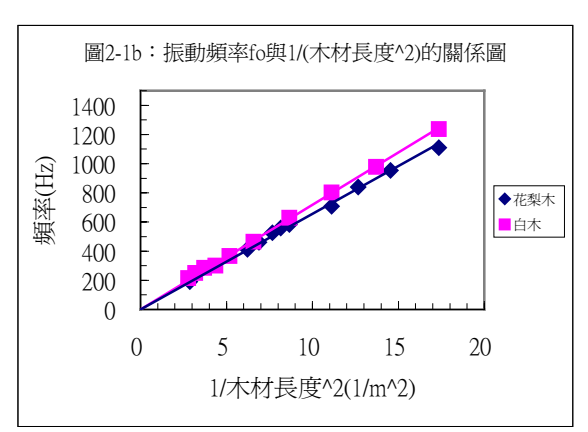
(三)木材振動頻率 f 與寬度 W 的關係

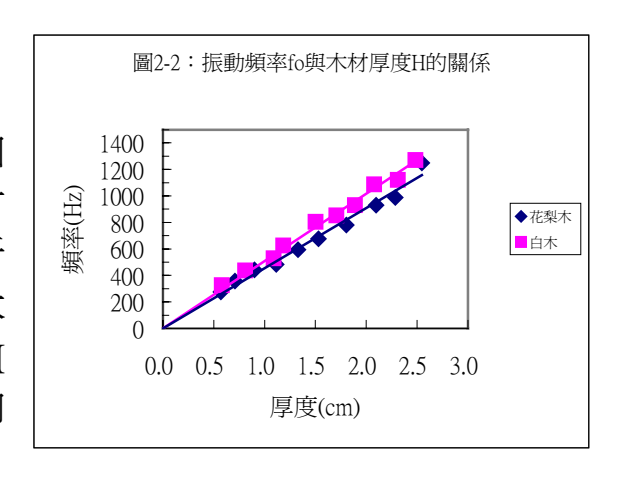
不同寬度木材振動頻率的測量結果如附錄〈表 2-3〉所示。將振動頻率 f 與木材寬度 W 作成 f-W 的關係圖,如〈圖 2-3〉所示,可以看出:不管是花梨木或白木,木材的寬度對振動頻率的影響並不明顯,換言之:振動頻率幾乎與木材的寬度無關。

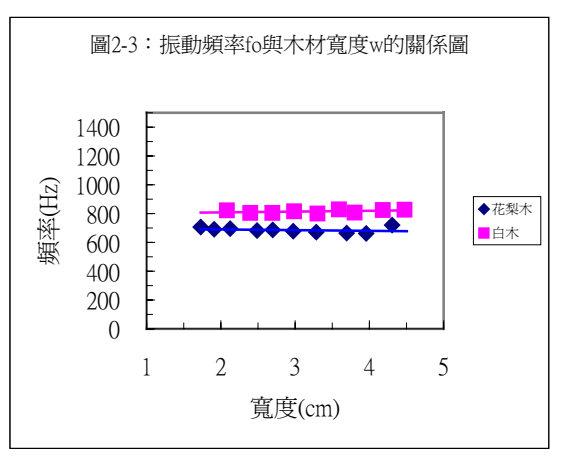
(四)木材振動頻率與長寬厚度的關係

綜合(一)~(三)的結果,可以歸納出:木材的振動頻率與其厚度成









正比、與其長度的平方成反比,與其寬度無關。即

$$f \propto \frac{H}{L^2} ~\circ$$

可以關係式表示為:

$$f = K \frac{H}{L^2} \quad ---- \quad \langle \text{ } \overrightarrow{L} \text{ } \overrightarrow{L} \text{ } \rangle$$

其中 K 爲一比例常數。不同材質木材的 K 値不同,就〈表 1-1〉所示:花 梨木與白木的 K 値分別約爲 4.6×10^5 及 4.8×10^5 (Hz-cm)。

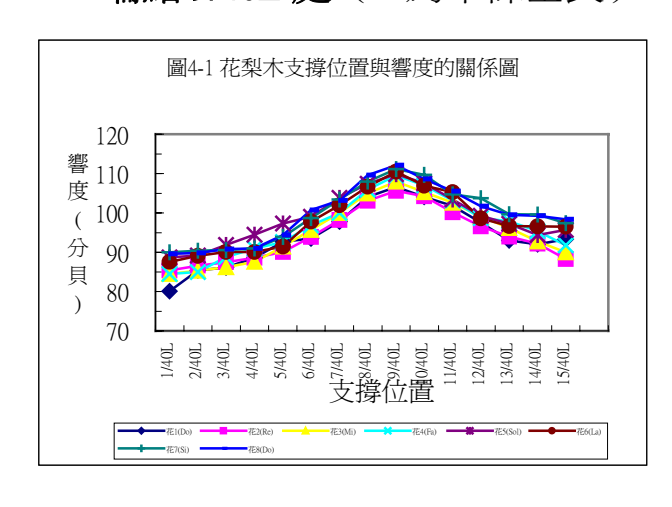
三、產生標準音頻木條的製作流程

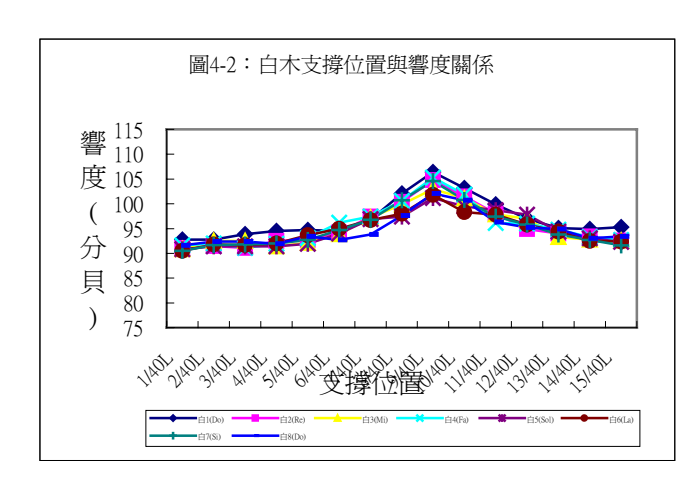
從測量原材的振動頻率 fo開始,藉由〈公式一〉的輔助,經初估長度與再推估長度的步驟,我們得以裁切出產生標準振動頻率的木條,其結果如附錄〈表 3-1〉所示。由表可以看出:不管是以聲頻分析法〈表 3-1〉或氣柱共鳴法〈表 3-2〉去評測完工後木條的振動頻率(fs'、fs*),其與標準頻率 fs間的偏差百分比皆在 1%以下,顯示以我們的這種流程設計,可以製造出音高相當準確的木條來作爲木琴琴鍵。

四、木材支撐位置對響度的影響

(一) 在相同力道的敲擊下,置放於不同支撐位置的木材,其振動響度的測量結果如附錄〈表 4〉所示。〈圖 4-1〉〈圖 4-2〉分別是花梨木與白木的振動響度與支撐位置的關係圖,由圖可以明顯看出:不管是花梨木或白木,不管何種長度的木條,可以產生最大振動響度的支撐點皆位於距離端點 9/40L 處(L 爲木條全長)。

8





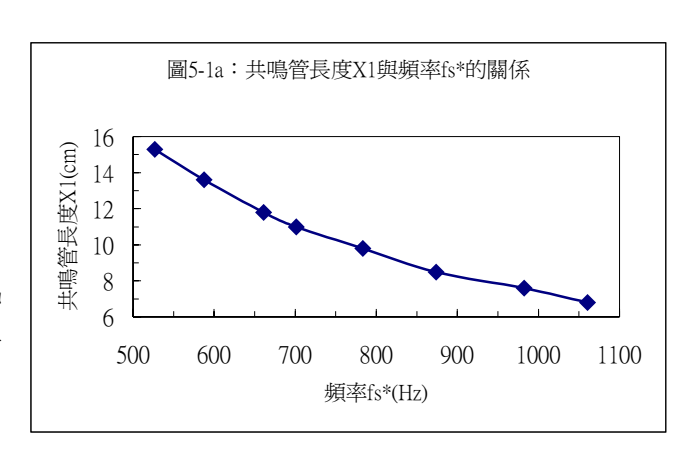
(二) 以相同的力道的擊鎚,敲擊相同 頻率的花梨木與白木作,其振動響 度與支撐位置的關係圖如〈圖 4-3〉 所示。兩者在 9/40L 處皆有最大響 度,而白木在各支撐點的響度皆較 花梨木大。若單以響度的大小來



看,白木似乎較花梨木來得恰當。

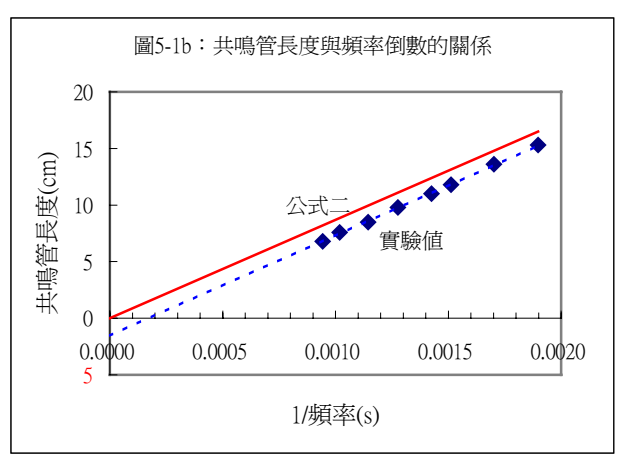
五、共鳴管長度的探討

(一) 不同振動頻率 f 所對應的共鳴空氣 柱長度 Xı如附錄〈表 5-1〉所示。將 Xı與 f 間的關係以〈圖 5-1a〉表示, 可以發現:



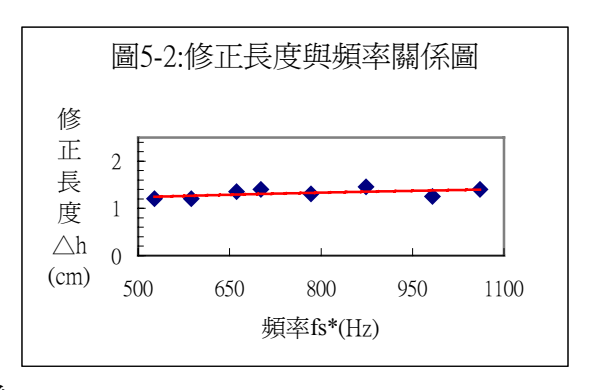
振動頻率愈高的木條,所對應的共鳴空氣柱愈短。

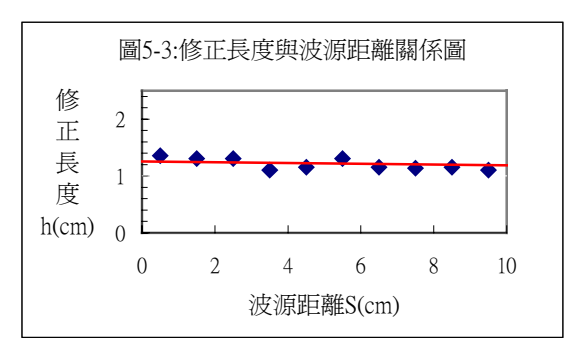
(二) 依實驗數據以及〈公式二〉理論數值作成的 X 與 1/f 函數關係如〈圖5-1b〉所示。由圖可以看出:理論組爲通過原點的斜直線,而實驗組的斜率幾乎與之相同,將理論組的函數圖形在縱軸方向往下平移一段截距Δh,幾乎就是實驗組的圖形。換言之,實際共鳴管長度 X 與頻率 f 函數關係應修正爲:



$$X_1 = \frac{V}{4} \cdot \frac{1}{f} - \Delta h = \frac{1}{4} \lambda - \Delta h - - \langle \Delta \Xi \Xi \rangle$$

- (三) 我們探討了影響修正長度 Δh 的三個可能 因素:波源的振動頻率 f、波源距共鳴管口 的距離 g、共鳴管的直徑 g0。其結果如下:
 - 1 · 各種不同振動頻率 f 所測得的修正長度 Δ h 如附錄 〈表 5-1 · 2〉所示。 Δ h 與 f 的函數關係如〈圖 5-2〉所示,由圖可以發現:振動頻率 f 對修正長度 Δ h 的影響並不明顯。
 - 2 · 將振動木條與共鳴管間的距離 S 作改變後,所測得的 Δh 如附錄〈表 5-3〉所示。 Δh 與 S 的函數關係如〈圖 5-3〉所示,由圖可以發現:**距離 S 對修正長度** Δh 的影響也不明顯。
 - 3 · 固定木條的的振動頻率及擺放位置,不同內 直徑 D 的共鳴管所測得 Δh 如〈表 5-4〉所示。 Δh 與 D 的函數關係如〈圖 5-4〉所示,由圖 可以看出:D 愈大, Δh 隨之增加,而且兩

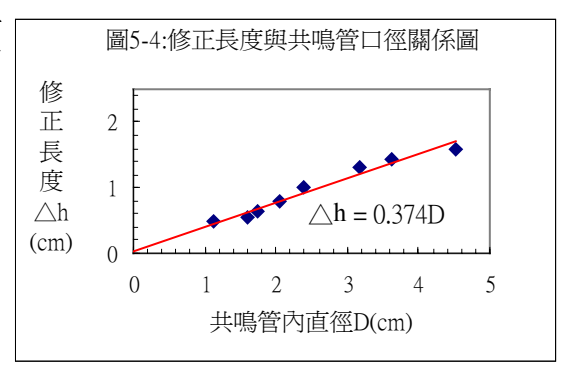




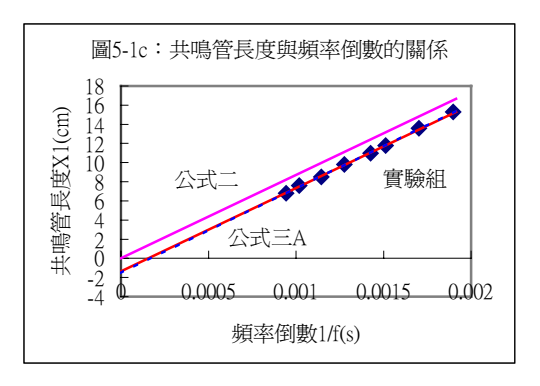
者間的函數關係近似一條通過原點的直線,即 Δh 與 D 成正比。其關係式為: Δh =0.37D 。

因此〈公式三〉可進一步表示為:

$$X_1 = \frac{1}{4}\lambda - 0.374D = \frac{1}{4}\frac{V}{f} - 0.374D$$
---- 〈公式三 A〉



4.以〈公式三 A〉將 Xī與 1/f 的理論函數關係, 與實驗組及〈公式二〉理論組値作比較,如 〈圖 5-1c〉所示,可以看出:實驗組的函數 關係幾與〈公式三 A〉的理論關係式預測吻 合。



六、 木琴的組裝

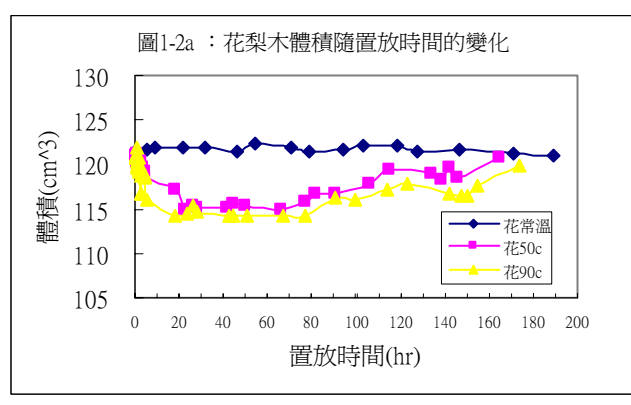
綜合以上的研究結果,調整兩支撐桿間距,將裁切好的木條置於響度最大的支撐點上。以裝水的玻璃杯作爲共鳴管,調整水位高低,找出各木條對應的共鳴水位,將各對應共鳴水杯置於各木條下方,完成木琴的組合。

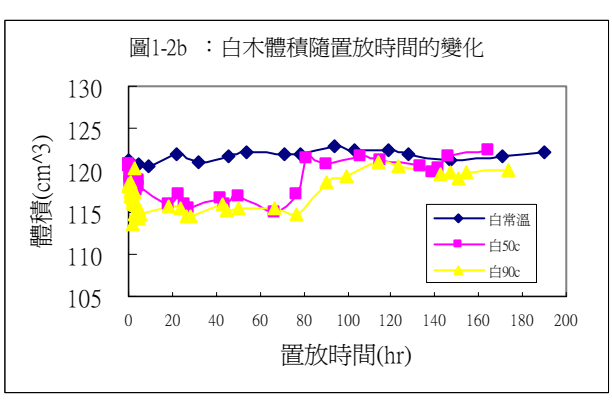


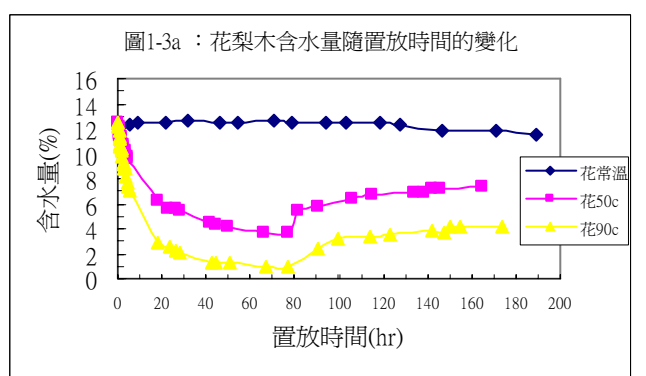


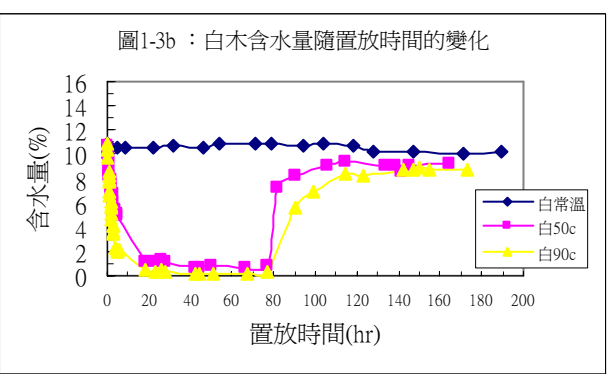
陸、討論

- 一、在高溫環境中的木材除了振動頻率產變化以外,是否還有其它物理量產生改變?這些物理量中,何者是造成振動頻率變化的主要原因?
 - 1·〈圖 1-2〉及〈圖 1-3〉分別是木材在置放過程中,其體積與含水量隨時間的變化情形。不論是花梨木或白木,置入高溫的環境時,其體積及含水量皆急劇減少,置回常溫環境中後(圖中時間>76 小時),體積及含水量皆有逐漸回升的現象,其中體積大致可以回復至原狀,但含水量會比置放前來的減少。其中體積的變化,會影響〈公式一:f=K*H/L²〉中的 H/L²值,而木材含水量的變化,則可能造成木材內部材質的改變,而改變了〈公式一〉中的 K 值。因此置放過程中木材體積或含水量的改變,都有可能是頻率 f 變化的原因。









2 · 〈圖 1-4〉是木材 K 值與含水量的函數關係圖,由圖可以發現: 木材的含水量 M 確實會對材料係數 K 產生影響, K 值隨含水量 的增加而減少。對同一種木材而言,即使在不同溫度的環境下置放, 其 K 值與 M 間的關係近似一次線性函數:

K = aM + b

其中 a 爲關係圖的斜率,其值<0;b 爲關係圖縱軸的截距,代表木材絕乾時的材料係數值。

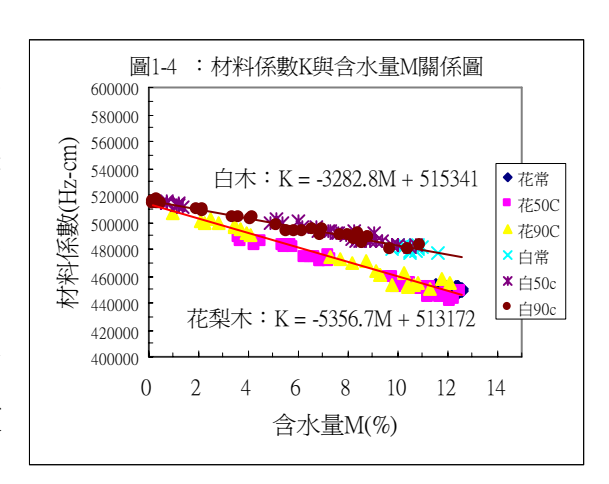
圖形中花梨木與白木的 a 值不同但 b 值很相近,依此推論:

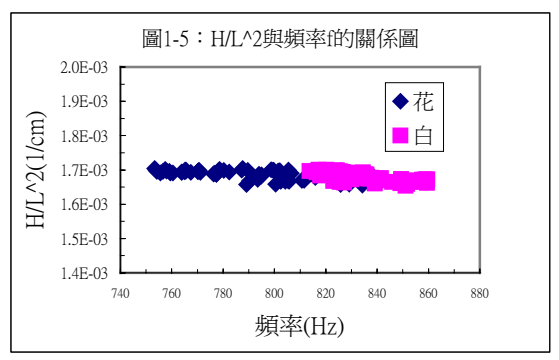
(1) a **値可能與木材的種類有關**,不同種類的木料, a 値不同。

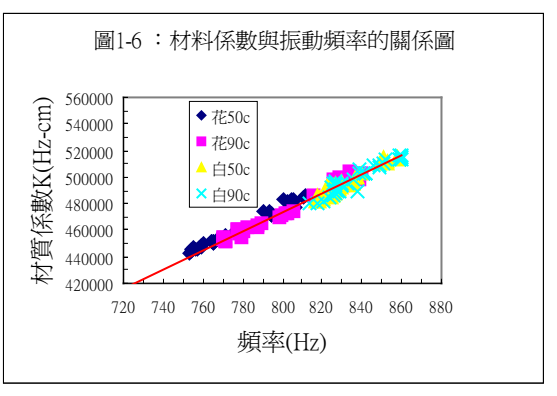
- (2) 花梨與白木的 b 值相近,表示兩者絕乾時有幾乎相同的材料係數。換言之,絕乾的花梨木與白木,其振動頻率只受形狀因素的影響,與其材質無關。
- 3. 為了確認木材置放過程中造成振動 頻率變化的主要原因,到底是形狀

變因、材質變因或是兩者兼具,依公式一:f=K(H/L²),我們將置放過程中的 H/L²值(形狀變因)及 K 值(材質變因)與振動頻率 f 的關係,分別作成如〈圖 1-5〉及〈圖 1-6〉所示。〈圖 1-5〉顯示:不管花梨木或白木,置放過程中不同頻率 f 所對應的 H/L²值幾爲定值;〈圖 1-6〉則顯示:置放過程中頻率 f 與 K 值間爲正比的線性關係。

綜合 1~3:置放於高溫環境下的木材,其振動頻率受形狀變異的影響很小,含水量改變導致內部材質變化才是頻率變化的主要原因。





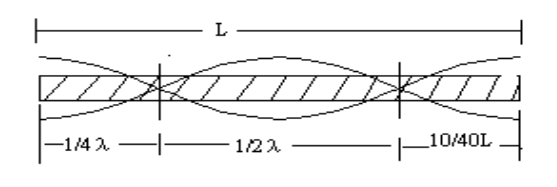


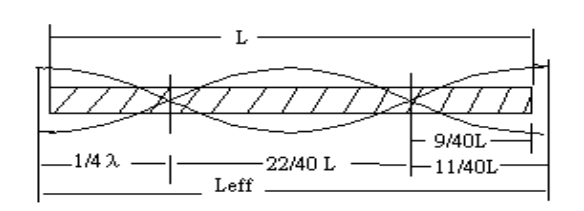
二、在製造標準音頻木條的過程中,是否一定要經歷兩次估算長度、裁切 鍵長的步驟?

因爲當初考慮木材材質的均勻度不一定很理想,因此在估算木條 長度的步驟中,經歷兩次估算、兩次裁切的步驟。其實若木材的質地 夠均勻,原材長度與完工後長度間的差距也不太大,以估算長度一 次、裁切一次的步驟,所製造出木條的振動頻率就已經很接近理想音 頻了。以花梨木及白木爲例,前者的質地很均勻,因此以一次估算、 一次裁切的步驟就可以,但後者的質地差異比較大,以兩次估算、兩 次裁切的步驟,才能製造出理想音頻的木條。

三、木條最大響度的支撐位置在 $\frac{9}{40}$ L處的意義何在?

依高中物理中「駐波」的概念(參考資料七、八),木條振動時的駐波型 態應該如下圖左所示:最大響度的支撐位置應出現在琴鍵振動時的節 點處,其距離端點的長度應爲 $\frac{1}{4}$ L ($\frac{10}{40}$ L)。但實驗的結果顯示木條最大響度的支撐位置出現在距端點約 $\frac{9}{40}$ L 處,表示木條振動的駐波模式中,兩側的波腹位置並不是位於木條端點上,而是出現在端點外約 $\frac{2}{40}$ L 處(如下圖右)。因此木條振動時的駐波波長 Λ 與木條長度 L 間的關係式,應由〔 Λ =L〕修正爲〔 Λ =Leff〕,其中 Leff = $\frac{44}{40}$ L= $\frac{11}{10}$ L。





X2

四、 實際共鳴管長度 $X_{i}=\frac{1}{4}\lambda - \Delta h$ 的意義何在?

實驗發現共鳴空氣柱的長度 X_1 與聲波波長 λ 的關係爲: $\left[X_1 = \frac{1}{4}\lambda - \Delta h\right]$,而非高中物理所描述的

 $[X = \frac{1}{4}\lambda]$,表示共鳴空氣柱駐波的波腹不在管口

處,而是在距管口外 Δh 處,如右圖所示。

柒、結論

藉由木琴各部構造的研究,我們成功地發展出一套製造木琴的流程,從 整個研製木琴的過程中,我們得到以下幾點結論:

- 一、高溫環境下置放的木材,會因爲含水量急劇減少,導致振動頻率升高 與不穩定。若要木條有更穩定的振動頻率,將在室溫環境下置放一段 時日,是比較好的選擇。
- 二、 木材的發音頻率與其長度、厚度有關,與琴鍵寬度無關。長度 L 愈短,厚度 H 愈厚,琴鍵的發音頻率 f 愈大。由實驗歸納出的關係式爲:

$$f = K \times H/L^2$$

- 三、木材的材質係數與木材的種類及含水量有關。同一種木材,含水量 M 愈高,材質係數 K 愈小,其函數關係近似於:K=aM+b。a<0,其值由 木材的種類決定; 花梨木與白木的 b 值接近。
- 四、 藉由實驗歸納出木條振動頻率與其長度的關係式,可以準確推估標準頻率木條的長度,進而發展出製造正確音高的木琴琴鍵的裁切流程。
- 五、木條的振動響度會隨支撐位置不同而改變,最大響度的支撐位置距離 木條端點約爲全長的 9/40。
- 六、 木琴的共鳴管長度 X_1 與木條的振動頻率 f、共鳴管口徑 D 有關,與木條擺放距離無關。振動頻率愈高所對應的管長愈短,其函數關係爲:

$$X_1 = \frac{v}{4f} - 0.374D$$

捌、參考資料

- 一、 陳文典.高中基礎物理.康熙出版社.
- 二、 陳文典.高中基礎物理教師手冊.康熙出版社.
- 三、 褚德三.高中基礎物理.龍騰文化事業公司.
- 四、管傑雄等.高中基礎物理.三民書局.
- 五、 林明瑞.高中基礎物理.南一書局.
- 六、 林明瑞.高中物理實驗上冊.p1.南一書局.
- 七、 林明瑞.高中物質科學物理篇下冊.南一書局.
- 八、 林明瑞.高中物理上冊.南一書局.
- 九、Bucur V. Acoustic of Wood. CRC press. Inc. p.52. 1995.
- + http://carini.physics.indiana.edu./P105S98/Standing-waves-in-pipes.html

評語

實驗構思有創意,且能結合遊戲增加實驗過程的趣味性,若能增加樣本數,則實驗結果更具可信度。